

九州大学 工学部 正員 神野健二

同 学員 山口宣男

同 正員 上田年比古

序、従来から浸透層内の流れの解析については、数多くの研究がなされてきたが、その手法は実験的アプローチ (Taylor, Harleman) と確率論的アプローチ (Saffman, Scheidegger) に大別されるようである。実際の浸透層内の流れ、分散現象は非常にランダムな流速や空間構造によって支配されており、そのランダム性を表現するうえで確率論的手法がより有利であると思われる。したがって、まず Saffman<sup>1)</sup> が考えた細管モデルによる解析について検討し、新たに細管径をランダム量とした場合の透水係数、および分散係数の評価、および実験による細管径の分布の検定を行なう。さらに、細管モデルを用いて浸透層内の分散現象のシミュレーションをして実験値と比較しつつ、細管モデルによる現象の表現の問題点について考える。つぎに、Scheidegger<sup>2)</sup> による分散現象の解析について検討し、これから研究の方向について考えていただきたい。

### 1. Saffman の統計的解析と細管径の分布の導入について

Saffman<sup>1)</sup> は浸透層内の空間部分を均等径  $d$  の細管の樹枝状結

合体と考えて確率モデルを考え、単位細管内は Poiseuille

流れとし、確率的に空間平均をすることにより、次のように  $10^{-1}$   
な結果を得ている。空間内平均流速:  $U = \frac{D_p P}{l} / (24\mu)$  ..... (1)

透水係数:  $k = \lambda \cdot P^2 / (24\mu)$  ..... (2) 主流方向の分散係数:

$$D_x = U l / 24, \text{ or } D_x / \lambda = R_e / 24 \quad \dots \dots (3) \quad \text{ここで } \mu \text{ は粘性係数.}$$

$\lambda$  は動粘性係数、 $P$  は圧差、 $R_e$  はレイノルズ数で、細管長  $10^{-2}$   
 $l$  は細管径  $d$  によっている。なお、(3)式は細管径の分布として

正規分布、 $f(d) = N(\bar{d}, \sigma_d^2)$  を導入すれば<sup>2)</sup>  $D_x = \int f(d) d d P / (24\mu)$

実験による分散係数は図-(1)のようになり、著者ら、および

Harleman の実験結果に比べ、(3)式の Saffman の分散係数は

かなり小さくなる。著者らの実験結果から分散係数の式は次  
のように表わされる。 $D_x / \lambda = 0.83 R_e^{1/2} = 0.83 (U l / \lambda)^{1/2}$  ..... (4)

また、細管径の分布を考慮すると、 $D_x / \lambda = 0.83 \left[ \left( \int f(d) d d P / (24\mu) \right) d P / (24\mu) \right]^{1/2}$  ..... (5) (5)式と著者らがさきに求めた透水係数:  $k = \lambda P^2 / (24\mu) d P / (24\mu)$  と連立させて解くと、 $\bar{d}$ 、 $\sigma_d^2$  が求まり、細管径の分布が得まる。

このようにして求めた細管径分布と空間部分を構成する粒子の粒度分布との関係を求めると、細管径の平均値は粒度の平均値の大きさ  $1/10$  になるという結果がえられた。

### 2. 浸透層内の分散現象の細管モデルを用いたシミュレーション

上述のように、Saffman の細管モデルによる分散係数は、実際の分散現象を十分表わしていないので、その原因を検討するために、細管モデルを用いて分散現象についてのシミュレーションを行なう。

た。いま、実験と対比するため、実験と同じ半径 5.2 cm の円筒内に樹枝状の細管を

考へ、円筒の中心軸を主流方向 X 軸、半径方向を R 軸、方向角を  $\theta$  とし、図-(2)のよ

うに各細管の交差におけるその細管の中心位置を円筒座標系 ( $R, \theta, X$ ) で表わし、

さらに液体粒子はこの細管内の半径方向の位置  $r$  で与えることにする。計算は

1) 粒子番号を付けて、 $j$  粒子の初期位置  $X=0$  における R 座標を乱数を用いて決定、

2) 細管が X 方向となす角  $\theta$  を  $0 \sim \pi/2$  の乱数により決定、3) 細管の半径  $d$  を正規乱

数を用いて決定、4) 細管内での流体粒子の位置  $r$  を流速分布の重みを付けて乱数に

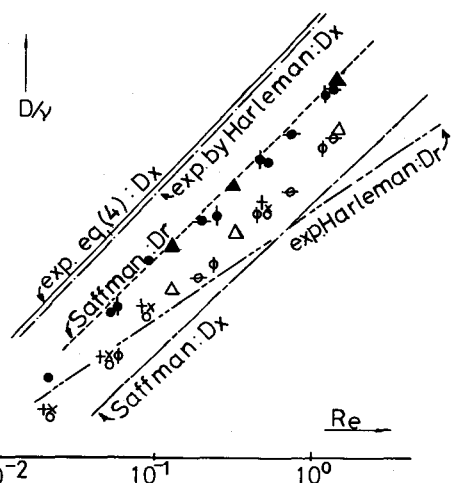
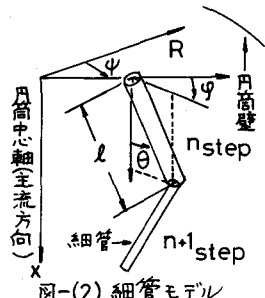
図-(1) 分散係数と  $Re$  数の関係

図-(2) 細管モデル

より決定。5)細管式前のステップで円筒壁面に当たったかどうかによって、当たっていたなら反射壁の処理として取り扱う。そうでないなら0≤φ≤2πの乱数によりφを決定。6)このステップで細管式壁面に当たるか否かの判定、当たるならばその位置をその細管の終端とする。7)細管の終端の位置を求めるため、半径方向の変位； $\text{L} \sin \theta \cdot \cos \phi$ 、y、主流方向の変位； $L \cos \theta$ を計算。8)細管内はPoiseuille流れとして流速、滞留時間を計算する。9)+1粒子についても同様に計算し、丁側の粒子についての、X.R方向の変位の平均値、分散を求め、分散係数を計算する。

以上のシミュレーションを4種類の資料について、流速を変えて算定し、その結果を図-11に示している。なお、この図には横方向の分散係数 $D_x$ と併記した。シミュレーションによる縦方向の分散係数は、

試料	$\ell$	$\bar{a}$	$\sigma_a$	$D_x$	$D_z$
1	0.0505	0.0097	0.0015	○	●
2	0.1282	0.0267	0.0016	△	●
3	0.1099	0.0184	0.0061	○	◆
4	0.2740	0.0524	0.0075	△	▲

Saffmanの値に近く、実験値よりは小さい値となつた。そこで、管長のランダム性、および細管結合部における乱れが分散係数に与える影響を考える。まず、細管長のランダム性を考慮して、管長が浸透層構成粒子の粒度分布と同じ計数正規分布をとると仮定してシミュレーションした結果が【卓-1】であり、やはり実験値に近づくが本質的な影響は与えない。つぎに、管径差による影響を考え、流体粒子の流速と平均流速との大小関係より、加速、減速効果を考慮した場合が【卓-2】であり、この要因もあり影響しないようである。実際に浸透層内の複雑な流れを流れの流体粒子のランダムな挙動と考えると、細管モデルだけではなく、細管モデルと確率モデルの結合を考えることが必要のことと思われ、これは今後の問題とする。

### 3. Scheideggerによる分散係数について

Scheideggerは浸透層内の流体粒子の挙動をつぎのように考えた。流体粒子の変位 $x = (x, y, z)$ の確率分布 $W(x, t)$ は中心極限定理より、 $W(x, t) = (4\pi D t)^{\frac{3}{2}} \exp\left[-\frac{1}{4Dt}\left\{x + \frac{B}{\mu} \text{grad}P \cdot \overline{\cos^2 \theta} \cdot t\right\}\right]$ 、変位 $x$ の平均値、分散値は $\bar{x} = -\frac{B}{\mu} \text{grad}P \cdot \overline{\cos^2 \theta} \cdot t$ 、 $\bar{x}^2 = \text{Var}[x] = \bar{x}^2$ より、 $\bar{x}^2 = 6Dt + \left[\frac{B}{\mu} \text{grad}P \cdot \overline{\cos^2 \theta}\right]^2 \cdot t^2$  ----- (6) ここで、Bは浸透層の特性を表すて確率変数。ScheideggerはDを定めるために、流体粒子について次のような運動方程式を考えた。

$B(f_t - P\bar{x}) = \mu \ddot{x}$  ----- (7) ここで $f_t$ は外力項である。Scheideggerはここで、未知関数 $\ddot{x}$ の一階微分の2乗の期待値が、平均値の一階微分の2乗に等しいと仮定して、(6)式と(7)式より分散係数が流速の2乗に比例するという結果を得ているが、実際には流速の1乗に比例することが知られており、また上述の仮定の不明な点などScheideggerの運動方程式では不十分であると考えられるので、ここではその解の確率密度関数が $W(x, t)$ となるような運動方程式を考えるべきであろう。そこで、Langevin方程式として知られる確率微分方程式を考える。外力をして平均量と、浸透層内のランダム性による変動量を考え、その変動量としてwhite noiseを考えると、x方向について $\ddot{x}(t) + \beta \dot{x}(t) = f_0 + w(t)$  今、十分大きい $\beta$ を考えて、 $\beta t \gg 1$ より慣性項は省略でき、 $\ddot{x}(t) = f_0/\beta + w(t)/\beta$  この式の両辺を $0 \sim t$ で積分すると、 $x(t) = f_0 t/\beta + W(t)/\beta$ 、ここで $W(t)$ はwiener過程である。 $x$ についての自己共分散関数、 $R_{xx}(t) = (x(t) + x(t')^2)/\beta^2$ 、平均値は、 $\bar{x}(t) = f_0 t/\beta$ 、ダルシー則より流速は、 $U = f_0/\beta = \lambda k P_{\text{ex}}/P_{\text{in}}$  よって外力は、 $f_0 = \beta \lambda k P_{\text{ex}}/P_{\text{in}}$ と表わされる。 $x(t)$ の分散は、 $\sigma_x^2(t) = R_{xx}(t) - \bar{x}(t)^2 = \alpha t^2/\beta^2$ 、ここに $\alpha$ はwiener過程のパラメータ。よって、 $\sigma_x^2(t)/2t = \alpha/2\beta^2 = D$ なる分散係数を用いると $\alpha = 2\beta^2 D$ となり、したがって浸透層内の流体粒子のx方向についての挙動はマクロ的に、平均値0、そのパワースペクトルが $2\beta^2 D$ であるようなウイナー過程を用いて、 $x(t) = (\lambda k P_{\text{ex}}/P_{\text{in}})t + W(t)/\beta$ と書きよう。

ただし、本報では、浸透層内の空隙を細管モデルでおこなえた確率モデルを用いて浸透層内の分散現象をシミュレートし、細管モデルどのような要因が分散現象を支配するのかを検討したのだが、影響を与えると考えられる物理量を考慮しても本質的な変化はみられず、これは実際の分散現象には細管モデルだけでは表せられない要因があるためであろう。したがって、今後これらを要因を確率モデルで表現できるように検討することとともに、流体粒子の運動方程式がLangevin方程式で表現できるかを検討していきたい。

参考文献 ① P.G. Saffman, "A theory of dispersion in a porous medium", Journal of Fluid Mechanics, No. 6 1957

② 上田、柳野、山口、土木学会西部支部年譲集 1976, ③ A.E. Scheidegger, "The physics of flow through porous media" 1960